

名古屋大学 正員 菊池洋一
 名古屋大学 学生員 高井茂
 名古屋大学 学生員 ○三宅一充

1. まえがき

本研究は、調質高張力鋼部材、とくに、箱形断面、厚肉H形断面など、トラス部材の溶接による残留応力分布を測定し、この残留応力分布に対して、予熱、溶接方法がおよぼす影響について検討したものである。

また、熱弾塑性解析により、箱形断面部材の数値計算を行い、実験値と比較、検討した。

2. 実験概要

以上の目的のために、つきのようの一連の実験を行った。試験体の寸法、形状は、Fig.1, Fig.2に示すところである。材質は、すべてHT80である。

〈実験1〉 箱形断面部材の溶接残留応力の測定……ここで、溶接の種類、溶接時の予熱の有無が、残留応力におよぼす影響を検討するため、試験体は、レ形溶接(A-TYPE), スミ因溶接(B-TYPE)の2種類を手溶接により製作し、そのおのおのについて、予熱なしのものと、150℃の予熱をほどこしたもの(AP-TYPE, BP-TYPE)とを比較した。

〈実験2〉 厚肉H形断面部材の溶接残留応力の測定……ここでは、溶接方法の違いによる影響を検討するために、サグマージドアーク溶接(S-TYPE), MIG溶接(M-TYPE)の2体について比較した。この際、サグマージドアーク溶接は4層、MIG溶接は8層で、ともに脚長25mmを目標とした。また、2体とも150℃の予熱を施した。

なお、各実験とも、残留応力の測定は断面分割法により行い、しきい測定には、フェンター型コンタクトゲージを使用した。

3. 実験結果

〈実験1.〉 測定結果は、Fig.3～Fig.6に示すようである。一般的傾向として、残留応力分布形状は、溶接ビードよりやや離れた熱影響部で引張残留応力が最大値を示し、ビード部ではそれより小さい値になっている。これは、つきの理由によるものと思われる。一般に、調質高張力鋼では、鋼材が限界温度T_c(約700℃)をこえるまで加熱されると冷却過程で変態による膨張を生じる

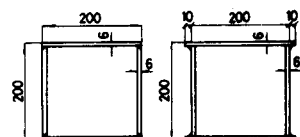
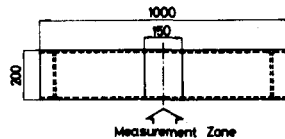


Fig.1

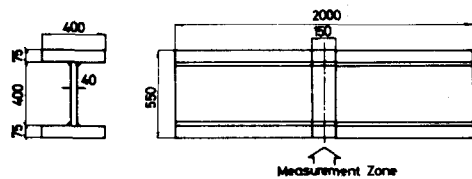


Fig.2

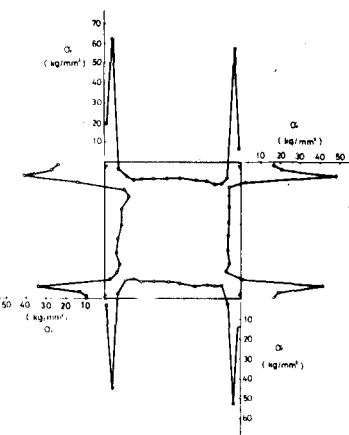


Fig.3 A-TYPE

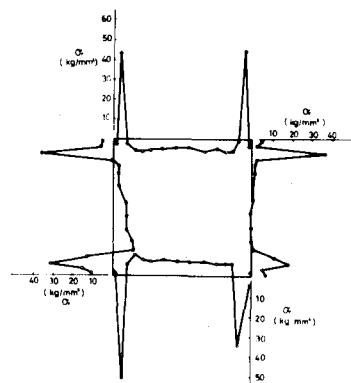


Fig.4 AP-TYPE

溶接による加熱により、ビード部では、この下をこえて加熱されたため、冷却過程で変態による体積膨張と生じ、引張残留応力は減少する。したがって、最終的な引張残留応力は、ビード部よりも、むしろ、その周辺で最大値を示すことになるであろう。ここにおける引張残留応力の値は降伏点の約5割～7割である。一方、圧縮残留応力の値は、降伏点の約1割程度である。予想による影響は、フランジより、ウェイドにかけて顕著である。また、溶接の種類(レ形、スミ肉)による影響は、ほとんど見られない。

〈実験2〉測定結果をFig.7, Fig.8に示す。この結果によれば、残留応力の値は予想外に小さく、S-TYPEで降伏点の約3割、M-TYPEで約2割程度にすぎない。これは、入熱量に対し、母材が比較的大きいこと、母材の材質がHT80であることなどに起因するものと考えられるが、ビード部付近の残留応力分布は複雑であり、残留応力測定における断面分割法により変動するとも考えられる。従って、今回の結果だけからでは、この理由を明らかにすることはできない。

全体の分布形状は、強軸、弱軸に対して、ほぼ対称であり、溶接順序による影響は見られないと。溶接方法(サザマージドアーフ、MIG)による影響は、入熱量の大きいS-TYPEの残留応力の値がM-TYPEに比べてやや大きい(引張残留応力で約6kg/mm²の差)程度で、あまり顕著ではない。

4. 残留応力の数値計算

実験1における箱形断面部材について、実験と同じ入熱量を考えて、温度分布と数値計算より求め、計算された温度分布を用いて、残留応力の数値計算を行った。

数値計算結果は、Fig.9に示すとおりである。実験値と比較すると、その分布形状は、ほぼ良く一致しているものと思われる。

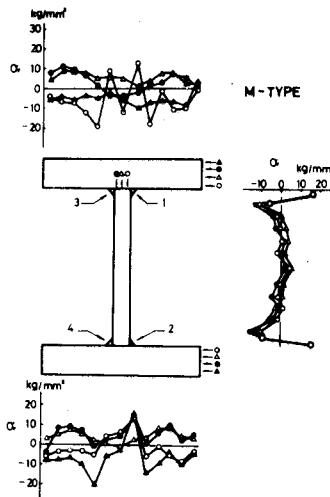


Fig.7 S-TYPE

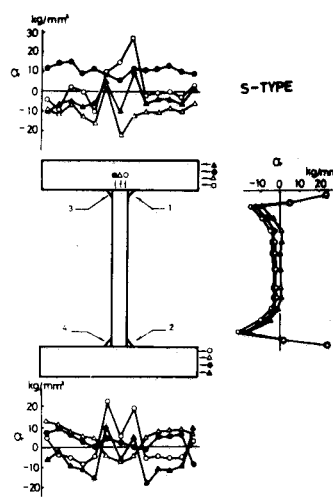


Fig.8 M-TYPE

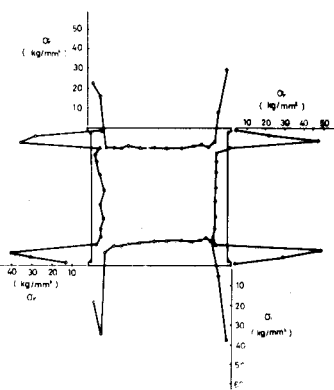


Fig.5 B-TYPE

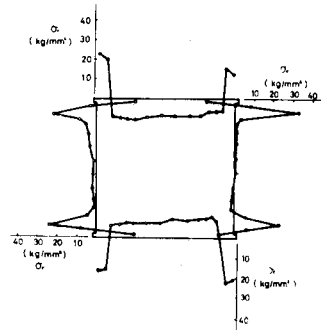


Fig.6 BP-TYPE

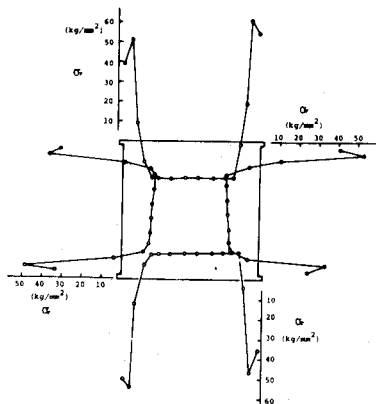


Fig.9